

Document title

1st Given Name Surname
dept. name of organization (of Aff.)
name of organization (of Aff.)
City, Country
email address

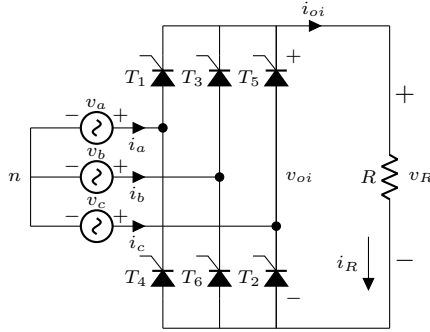
2nd Given Name Surname
dept. name of organization (of Aff.)
name of organization (of Aff.)
City, Country
email address

3rd Given Name Surname
dept. name of organization (of Aff.)
name of organization (of Aff.)
City, Country
email address

Abstract—This document is a model and instructions for L^AT_EX. This and the IEEEtran.cls file define the components of your document [title, text, heads, etc.]. *CRITICAL: Do Not Use Symbols, Special Characters, Footnotes, or Math in Document title or Abstract.

I. INTRODUCTION

This document is a model and instructions for L^AT_EX. Please observe the report page limits.



Lo voltajes de línea a neutro se definen como:

$$\begin{aligned} v_a(t) &= V_{max} \sin(\omega t) \\ v_b(t) &= V_{max} \sin(\omega t - 120^\circ) \\ v_c(t) &= V_{max} \sin(\omega t + 120^\circ) \end{aligned}$$

II. ESTADOS ASUMIDOS

En un instante dado las tres tensiones de fase v_a, v_b, v_c se ordenan por su valor instantáneo; con SCR ideales y sin solape, siempre conducen dos dispositivos: el superior de la fase con mayor potencial y el inferior de la fase con menor potencial, de modo que el voltaje de salida es siempre un línea-a-línea $v_{oi}(t) = v_{max}(t) - v_{min}(t)$. Se considera además el estado sin conducción S_0 cuando aún no se ha aplicado el pulso de compuerta (ángulo α) o la red no supera el umbral de disparo. Así, los siete estados son:

- S_0 : ningún SCR conduce, $v_{oi} = 0$.
- S_1 si $v_a \geq v_b \geq v_c$, T_1 y T_6 (ON), $v_{oi} = v_a - v_b \equiv v_{ab}$.
- S_2 si $v_a \geq v_c \geq v_b$, T_1 y T_2 (ON), $v_{oi} = v_a - v_c \equiv v_{ac}$.
- S_3 si $v_b \geq v_a \geq v_c$, T_3 y T_4 (ON), $v_{oi} = v_b - v_a \equiv v_{ba}$.
- S_4 si $v_b \geq v_c \geq v_a$, T_3 y T_2 (ON), $v_{oi} = v_b - v_c \equiv v_{bc}$.
- S_5 si $v_c \geq v_a \geq v_b$, T_5 y T_4 (ON), $v_{oi} = v_c - v_a \equiv v_{ca}$.
- S_6 si $v_c \geq v_b \geq v_a$, T_5 y T_6 (ON), $v_{oi} = v_c - v_b \equiv v_{cb}$.

Las transiciones entre estados ocurren cuando dos tensiones de fase se igualan (cruces $v_a = v_b$, $v_b = v_c$ o $v_c = v_a$), lo que en el caso senoidal balanceado sucede cada 60° eléctricos; el inicio efectivo de cada estado conductor queda retrasado por el ángulo de disparo α . Dado que la carga es estrictamente resistiva, no hay almacenamiento de energía ni memoria de estado: la corriente sigue instantáneamente a la tensión en cada tramo y vale simplemente

$$i(t) = \frac{v_{oi}(t)}{R},$$

anulándose exactamente en los instantes de cambio de par, por lo que el apagado de los SCR es natural en cada frontera de 60° .

Estado	Intervalo (grados)
S_1	$[30^\circ + \alpha, 90^\circ + \alpha]$
S_2	$[90^\circ + \alpha, 150^\circ + \alpha]$
S_3	$[150^\circ + \alpha, 210^\circ + \alpha]$
S_4	$[210^\circ + \alpha, 270^\circ + \alpha]$
S_5	$[270^\circ + \alpha, 330^\circ + \alpha]$
S_6	$[330^\circ + \alpha, 390^\circ + \alpha]$

Tabla I: Intervalos de los estados asumidos del rectificador trifásico semicontrolado (ángulos en grados; α en grados).

En cada intervalo de 60° la secuencia de fases (desfasadas 120°) produce una fase *más positiva* y otra *más negativa*; el par de tiristores del sector conecta dicha fase máxima con la mínima, por lo que v_{oi} en ese tramo es la diferencia línea-a-línea entre ellas. El ángulo de disparo α (expresado en grados) no altera el orden relativo de las fases: simplemente *desplaza* el inicio de cada sector (p. ej. S_1 comienza en $30^\circ + \alpha$, S_2 en $90^\circ + \alpha$, etc.). En un modelo ideal por tramos cada sector dura 60° ; con inductancias reales pueden aparecer solapamientos momentáneos durante los cruces.

III. SIMULACIÓN EN PSIM

La Fig.1 muestra el comportamiento del voltaje en la resistencia v_r para el rectificador trifásico.

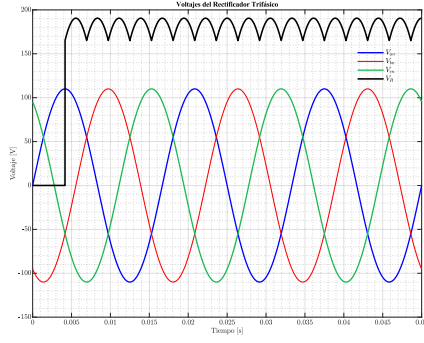


Fig. 1: Comportamiento de v_R

Para obtener este resultado se ajusto el ángulo de disparo de cada tiristor según la Tabla II

Estado	Intervalo (grados)
T_1	$[30^\circ - 150^\circ]$
T_2	$[90^\circ - 210^\circ]$
T_3	$[150^\circ - 270^\circ]$
T_4	$[210^\circ - 330^\circ]$
T_5	$[270^\circ - 390^\circ]$
T_6	$[330^\circ - 450^\circ]$

Tabla II: Ángulos de disparo para cada tiristor

IV. CONCLUSIONS

The conclusion goes here.

REFERENCES

- [1] G. Eason, B. Noble, and I. N. Sneddon, "On certain integrals of Lipschitz-Hankel type involving products of Bessel functions," Phil. Trans. Roy. Soc. London, vol. A247, pp. 529–551, April 1955.
- [2] J. Clerk Maxwell, A Treatise on Electricity and Magnetism, 3rd ed., vol. 2. Oxford: Clarendon, 1892, pp.68–73.
- [3] I. S. Jacobs and C. P. Bean, "Fine particles, thin films and exchange anisotropy," in Magnetism, vol. III, G. T. Rado and H. Suhl, Eds. New York: Academic, 1963, pp. 271–350.
- [4] K. Elissa, "Title of paper if known," unpublished.
- [5] R. Nicole, "Title of paper with only first word capitalized," J. Name Stand. Abbrev., in press.
- [6] Y. Yorozu, M. Hirano, K. Oka, and Y. Tagawa, "Electron spectroscopy studies on magneto-optical media and plastic substrate interface," IEEE Transl. J. Magn. Japan, vol. 2, pp. 740–741, August 1987 [Digests 9th Annual Conf. Magnetics Japan, p. 301, 1982].
- [7] M. Young, The Technical Writer's Handbook. Mill Valley, CA: University Science, 1989.